

# KARIŞIK MODLU KAOTİK DEVRE MODELİ KULLANILARAK GÜVENİLİR HABERLEŞME AMAÇLI SİSTEM TASARIMI VE GERÇEKLEŞTİRİMİ

*Recai KILIÇ, Mustafa ALÇI*

Erciyes Üniversitesi Mühendislik Fakültesi  
Elektronik Mühendisliği Bölümü, 38039, Kayseri  
e-posta: [kilic@erciyes.edu.tr](mailto:kilic@erciyes.edu.tr)

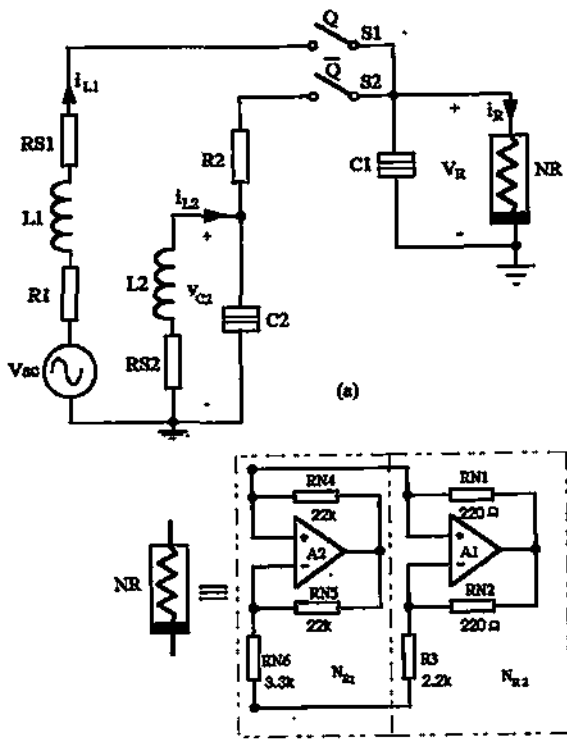
**Abstract-** This paper presents a mixed-mode chaotic circuit which has both autonomous and nonautonomous chaotic circuit dynamics and it shows that how this circuit can be utilized in a chaotic communication system for transmitting analog signals. For this purpose, using this circuit, a chaotic communication system has been designed and implemented. Results of computer simulations and laboratory experiments verify our approach.

**Keywords:** Chaos, Chaotic Communications, Mixed-Mode Chaotic Circuit

## 1. GİRİŞ

Kaos tabanlı güvenilir haberleşme sistemleri, iletilenek bildiri işaretlerinin spektrumunu geniş bir sahaya yayabilecekleri, eşzamanlı olarak bildiri işaretlerini kodlayabilecekleri ve bu işlemleri basit ve pahalı olmayan kaotik devre düzenekleriyle gerçekleştirebilmeleri sebebiyle, literatürdeki standart yayılı spektrumlu haberleşme sistemlerine alternatif olmuşlardır. Geçen on yıl içerisinde kaos tabanlı birçok haberleşme sistemi geliştirilmiş olup, bu tip haberleşme sistemlerinin gerçekleştirilebilmesinde kullanılan çok sayıda kaotik devre tasarımları yapılmıştır. Literatürde bu kaotik sistemler, ya otonom kaotik devre modelleri ya da otonom olmayan kaotik devre modelleri ile gerçekleştirilmemiştir. Genelde en çok kullanılan ve tercih edilen kaotik devre modeli ise basit bir yapıya sahip olan ve zengin kaotik davranış sergileyen otonom Chua devresi olmuştur [1-9].

Güvenilir haberleşme amaçlı kaotik haberleşme sistemlerinde kaos üretici olarak kullanılacak devrenin tasarımını sistem donanımında önemli bir rol oynar. Kullanılacak kaos üreticisinin çok karmaşık olmayan donanım yapısına sahip olması en çok arzulanan durumdur. Fakat kaotik haberleşme sistemlerinde yüksek güvenilirlik ve gizliliğin sağlanması için kaotik işaret üreticilerinin basit donanımlarla ilaveten zengin ve geniş kaotik parametre değişimleri ile ekstra güvenilirlik anahtarılarına sahip olmaları gerekmektedir. Bu çalışmada, böyle özelliklere sahip olacak şekilde tasarlanan yeni bir kaotik devre modeli ve bu model kullanılarak tasarımını ve gerçekleştirmişi yapılan analog



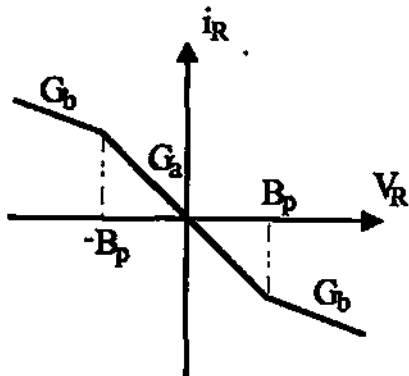
Şekil-1. (a) Karışık modlu kaotik devre modeli, (b) devredeki nonlineer direnç yapısı.

bilgi iletim amaçlı kaotik haberleşme sistemi tamamlanacak olup, sistem performansı bilgisayar simülasyonları ve laboratuvar deneyleri ile değerlendirilecektir.

## 2. KARIŞIK MODLU KAOTİK DEVRE MODELİ

Yapısında tek bir nonlineer direnç kullanılarak basit bir donanımla tasarlanan karışık modlu kaotik devre modeli Şekil-1'de görülmektedir. Devre yapısındaki nonlineer direncin i-v karakteristiği Şekil-2'de verilmiştir olup,

$$i_R = f(V_R) = G_b V_R + 0.5 \cdot (G_a - G_b) \times (|V_R + B_p| - |V_R - B_p|) \quad (1)$$



Şekil-2. Şekil-1'deki nonlineer direncin i-v karakteristiği.

denklemi ile tanımlanmaktadır. Şekilde de görüleceği gibi  $G_a$ ,  $G_b$  karakteristiğin iç ve dış bölgelerindeki iletkenliklerini,  $B_p$  ise kırılma noktalarını temsil etmekte olup, bu parametrelerin istenilen değerleri sırasıyla  $-0.76 \text{ mS}$ ,  $-0.41 \text{ mS}$  ve  $1 \text{ V}$ 'dır.

Şekil-1'deki karışık modlu kaotik devre modeli, anahtar komurlarına bağlı olarak hem otonom hem de otonom olmayan kaotik davranış sergileyebilmektedir. Anahtar komurları S1-ON ve S2-OFF iken Şekil-1'deki devre otonom olmayan MLC devresine dönüştür ve otonom olmayan kaotik davranış sergiler [10]. Bu durumda karışık modlu kaotik devre modeli aşağıda verilen iki birinci dereceden otonom olmayan diferansiyel denklemele tanımlanmaktadır.

$$C_1 \frac{dV_R}{dt} = i_{L1} - f(V_R) \quad (2)$$

$$L_1 \frac{di_{L1}}{dt} = -i_{L1}(R_1 + R_{S1}) - V_R + A \sin(\omega t) \quad (3)$$

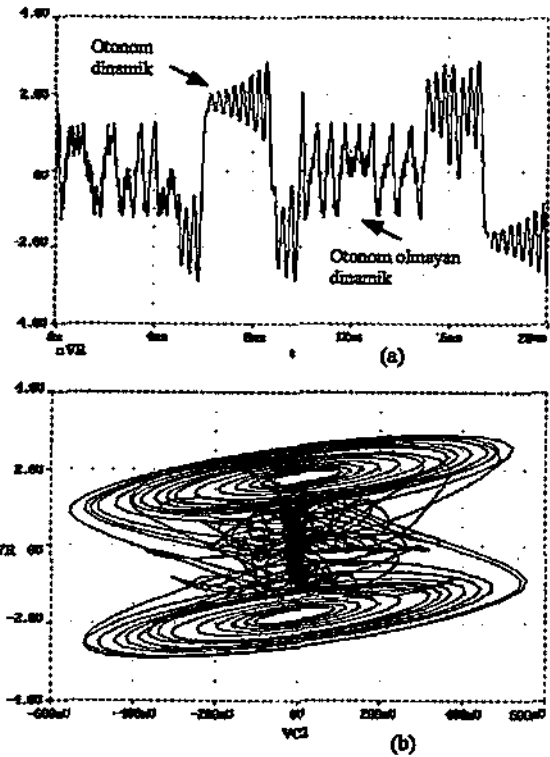
Burada  $A$ , şeildeki  $V_{ac}$  kaynağının genliğini ve  $(\omega)$  ise açısal frekansını temsil etmektedir.  $V_{ac}$  kaynağının genliği  $A$ , kaotik değişim parametresi olarak kullanılmaktadır. Bu genlik değerinin sıfırdan yukarıya doğru artırılmasıyla sistem değişik dallanma ve kaos sergiler.

Şekil-1'deki anahtar komurları S1-OFF ve S2-ON olduğunda şeildeki devre, otonom Chua devresine dönüştür ve otonom kaotik davranış sergilemektedir [10]. Bu durumda devre aşağıda verilen üç birinci dereceden otonom diferansiyel denklemele tanımlanır.

$$L_2 \frac{di_{L2}}{dt} = -V_{C2} - i_{L2} \cdot R_{S2} \quad (4)$$

$$C_2 \frac{dV_{C2}}{dt} = i_{L2} - \frac{1}{R_2} (V_{C2} - V_R) \quad (5)$$

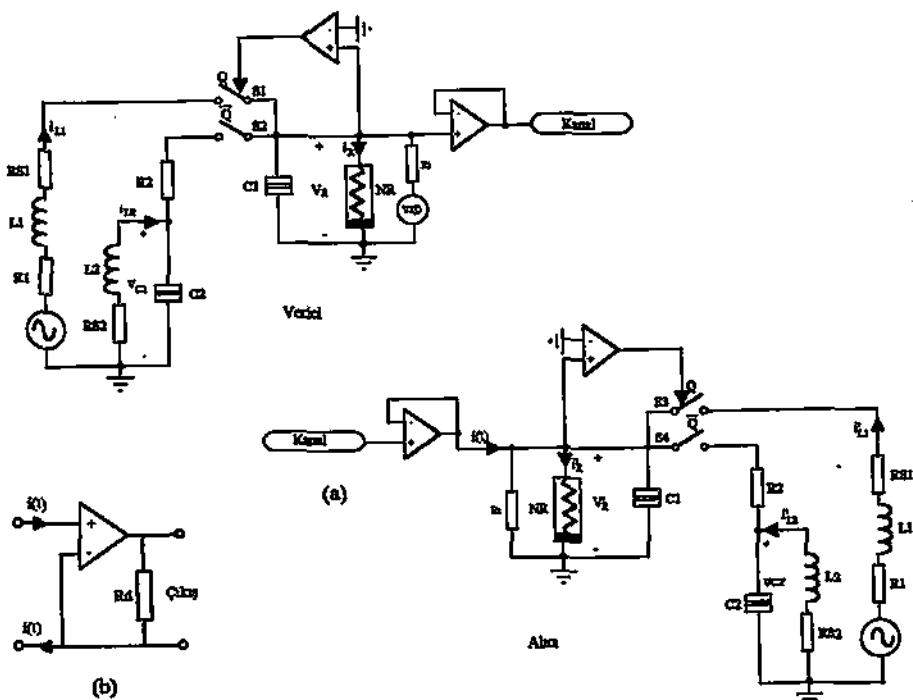
$$C_1 \frac{dV_R}{dt} = \frac{1}{R_1} (V_{C2} - V_R) - f(V_R) \quad (6)$$



Şekil-3. (a) Karışık modlu kaotik devre dinamisi, (b) devrenin kaotik çeker yapısı.

Devredeki  $R_2$  direnç değeri kaotik değişim parametresi olarak belirlenmiş olup, bu direnç değerinin  $2000 \Omega$ 'dan sıfıra doğru azaltılmasıyla devre yapısı değişik dallanma ve kaos olayı sergilemektedir.

Şekil-1'deki anahtarların komurları statik olarak değil sürekli değişen bir kontrol işaretine bağlı yani dinamik olarak değiştirildiğinde,  $C_1$  dinamisi üzerinde uygulanan kontrol işaretinin darbe süresine bağlı olarak hem otonom hem de otonom olmayan bir özellik taşıyan karışık modlu kaotik davranış sergilenmektedir [10]. Şekil-1'deki devrede anahtarların kontrol işaretleri olarak darbe süreleri 5 ms ve periyotları 10 ms olan iki eşitlik karedalga işaret  $V(Q)$  ve  $V(\bar{Q})$  kullanılmıştır. Elde edilen karışık modlu işaretin elde edilmesinde anahtarların kontrolu periyodik işaretlerle sağlanmış olsa da, bu kontrol periyodik olmayan işaretlerle hatta harici işaret kullanmadan devrenin kendi dinamiklerinden sağlanabilir. Böyle bir kontrol metodu bu devre modeli kullanılarak tasarlanan ve bir sonraki bölümde tanıtlacak olan kaotik haberleşme sisteminde kullanılacaktır.



Sekil-4. (a) Karışık modlu kaotik devre modeli tasarlanan kaotik haberleşme sistemi, (b) akım dedektörü.

### 3. TASARLANAN KAOTİK HABERLEŞME SİSTEM YAPISI

Karışık modlu kaotik devre modeli analog işaretlerin kaotik ortamda güvenilir bir şekilde iletilmesinde etkili olarak kullanılabilir. Bu devre sahip olduğu hem otonom hem de otonom olmayan kaotik devre parametreleri ve yapısındaki anahtarlama özelliği ile kullanılan haberleşme sisteminde yüksek güvenilirlik ve gizlilik sağlayabilir. Bunu göstermek amacıyla karışık modlu kaotik devre modeli kullanılarak kaotik modülasyon teknigine dayalı bir kaotik haberleşme sistemi oluşturulmuştur. Oluşturulan sistem yapısı Şekil-4(a)'da görülmektedir. Şekilden de görüldüğü gibi verici ve alıcı modüldeki anahtarlar periyodik bir işaretle değil devrenin kendi kaotik dinamiği ile kontrol edilmişlerdir. Verici modüldeki anahtarlama işlemini kontrol eden  $V_R(t)$  işaretine bağlı olarak verici modül,

$V_R > 0$  için,

$$C_1 \frac{dV_R}{dt} = i_{L1} - f(V_R) + \frac{V_i(t) - V_R}{R_i} \quad (7)$$

$$L_1 \frac{di_{L1}}{dt} = -i_{L1} (R_1 + R_{g1}) - V_R + A \sin(\omega t)$$

ve  $V_R < 0$  için,

$$L_2 \frac{di_{L2}}{dt} = -V_{C2} - i_{L2} \cdot R_{g2}$$

$$C_2 \frac{dV_{C2}}{dt} = i_{L2} - \frac{1}{R_2} (V_{C2} - V_R) \quad (8)$$

$$C_1 \frac{dV_R}{dt} = \frac{1}{R_2} (V_{C2} - V_R) - f(V_R) + \frac{V_i(t) - V_R}{R_i}$$

denklemleriyle tamamlanır. Burada  $V_i(t)$  iletimi düşünen analog bildiri işaretini ve  $V_R(t)$  ise iletim ortamına verilen kaotik işaretidir. Denk.(7) ve (8)'deki her iki anahtarlama durumunda yani  $V_R > 0$  ve  $V_R < 0$  durumlarda ortak dinamik olan  $C_1 \frac{dV_R}{dt}$  dinamigi aşağıdaki birleşik formda yazılabilir.

$$C_1 \frac{dV_R}{dt} = \frac{1}{2} \left[ (1 + \text{sgn}(V_R)) \cdot (i_{L1} - f(V_R)) + (1 - \text{sgn}(V_R)) \cdot \left( \frac{V_{C2} - V_R}{R_2} - f(V_R) \right) \right] + \frac{V_i(t) - V_R}{R_i} \quad (9)$$

Alıcı module ait durum denklemleri de yine kendi yapısındaki anahtarlama komutlarına bağlı olarak aşağıdaki gibi ifade edilecektir.

$V'_R > 0$  için,

$$C_1 \frac{dV'_R}{dt} = i'_{L1} - f(V'_R) - \frac{V'_R}{R_1} \quad (10)$$

$$L_1 \frac{di'_{L1}}{dt} = -i'_{L1}(R_1 + R_{S1}) - V'_R + A \sin(\omega t)$$

ve

$V'_R$  (0 için,

$$L_2 \frac{di'_{L2}}{dt} = -V'_{C2} - i'_{L2} \cdot R_{S2}$$

$$C_2 \frac{dV'_{C2}}{dt} = i'_{L2} - \frac{1}{R_2} (V'_{C2} - V'_R) \quad (11)$$

$$C_1 \frac{dV'_R}{dt} = \frac{1}{R_1} (V'_{C2} - V'_R) - f(V'_R) - \frac{V'_R}{R_1}$$

Verici sistemindeki benzer bir şekilde her iki anahtarlama komutundaki ortak dinamik  $C_1 \frac{dV'_R}{dt}$ ,

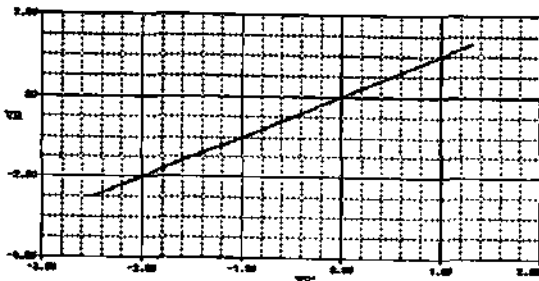
$$C_1 \frac{dV'_R}{dt} = \frac{1}{2} \left[ (1 + \text{sgn}(V'_R)) \cdot (i_{L1} - f(V'_R)) + (1 - \text{sgn}(V'_R)) \cdot \left( \frac{V'_{C2} - V'_R}{R_1} - f(V'_R) \right) \right] - \frac{V'_R}{R_1} \quad (12)$$

olarak ifade edilebilir. İletim ortamındaki voltaj takipçisinden dolayı  $V_R(t) = V'_R(t)$  eşitliği süzkomşudur. Bu aşamada, alıcı sisteme  $V_i(t)$  analog bildiri işaretinin yeniden nasıl elde edilebileceği gösterilecektir. Denk.(9)'dan,

$$V_i(t) = R_i \left[ C_1 \frac{dV_R}{dt} - \frac{1}{2} \left[ (1 + \text{sgn}(V_R)) \cdot (i_{L1} - f(V_R)) + (1 - \text{sgn}(V_R)) \cdot \left( \frac{V'_{C2} - V_R}{R_1} - f(V_R) \right) \right] + \frac{V_R}{R_1} \right] \quad (13)$$

olarak elde edilirken, benzer olarak Şekil 4(a)'daki  $i(t)$  akımı da,

$$i(t) = \left[ C_1 \frac{dV_R}{dt} - \frac{1}{2} \left[ (1 + \text{sgn}(V_R)) \cdot (i_{L1} - f(V_R)) + (1 - \text{sgn}(V_R)) \cdot \left( \frac{V'_{C2} - V_R}{R_1} - f(V_R) \right) \right] + \frac{V_R}{R_1} \right] \quad (14)$$



Şekil-6. Tasarılanan sistemin senkronizasyon eğrisi.

denklemiyle ifade edilecektir. Verici ve alıcı modüllerdeki devre dinamikleri arasında  $p(t) = v_{C2}(t) - v'_{C2}(t)$ ,  $q(t) = i_{L2}(t) - i'_{L2}(t)$  ve  $r(t) = i_{L1}(t) - i'_{L1}(t)$  farklı tanımlamaları yapılır ve bunlar diferansiyel denklem formunda yazılır,

$$C_2 \frac{dp}{dt} = -\frac{p}{R_2} + q \quad (15)$$

$$L_2 \frac{dq}{dt} = -p - R_{S2} \cdot q$$

$$L_1 \frac{dr}{dt} = -(R_1 + R_{S1}) \cdot r$$

İfadeleri elde edilir. Denk.(15)'in orijini asimptotik olarak karaşlı olduğu için  $t \rightarrow \infty$  iken  $|p| = |v_{C2} - v'_{C2}| \rightarrow 0$ ,  $|q| = |i_{L2} - i'_{L2}| \rightarrow 0$  ve  $|r| = |i_{L1} - i'_{L1}| \rightarrow 0$  olacaktır. Bu da verici ve alıcı modüllerin senkronize olacağı anlamına gelmektedir. Böylece Denk.(14)'deki  $i(t)$  akım ifadesinde  $v_R(t) = V_R(t)$ ,  $v_{C2}(t) = v'_{C2}(t)$  ve  $i_{L1}(t) = i'_{L1}(t)$  eşitlikleri kullanılınca,

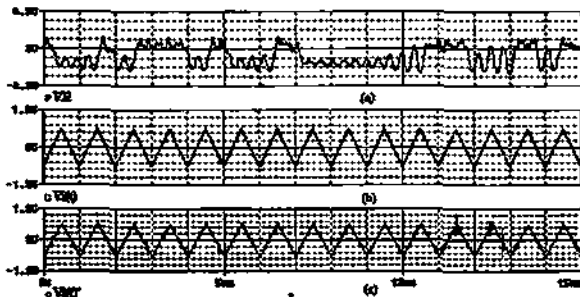
$$i(t) = \left[ C_1 \frac{dV_R}{dt} - \frac{1}{2} \left[ (1 + \text{sgn}(V_R)) \cdot (i_{L1} - f(V_R)) + (1 - \text{sgn}(V_R)) \cdot \left( \frac{V'_{C2} - V_R}{R_1} - f(V_R) \right) \right] + \frac{V_R}{R_1} \right] \rightarrow \frac{V_i(t)}{R_1} \quad (16)$$

elde edilir. Denk.(16)'dan  $i(t)$  akımının  $V_i(t)$  bildiri işaretiley orantılı olarak değiştiği anlaşılmaktadır. Böylece Şekil-4(b)'deki akım dedektörü kullanılarak analog bildiri işaret  $V_i(t)$  alıcı sisteme tekrar elde edilebilmektedir.

#### 4. SIMÜLASYON VE DENEYSEL ANALİZ SONUÇLARI

Şekil-4(a)'daki kanışık modlu kaotik devre modeli ile tasarlanan kaotik haberleşme sistemi önce Pspice simülasyonları ile incelemiştir ve tasarım mantığının doğruluğu kanıtlanmıştır. Şekil-4(a)'da görüldüğü gibi sistemin verici ve alıcı modülleri ve bu modüllerdeki anahtarlamalar mekanizmaları eşdeğer elemanlardan kurulmuştur. Bu her iki modül arasındaki senkronizasyonun sağlanması için gereklidir. Verici ve alıcı modüller arasında kaotik senkronizasyonun sağlandığı Şekil-6'daki simülasyon sonucundan görülmektedir. Şekil-7'de ise analog bildiri işaretinin üçgen dalga formunda olduğu durumda sistem dinamiklerini gösteren simülasyon sonuçları verilmiştir.

Bilgisayar simülasyonları ile tasarım mantığı doğrulanmış Şekil-4'deki haberleşme sistemi laboratuvar ortamında deneysel olarak da gerçekleştirilmiştir. Elde edilen deney sonuçları, bu gerçekleştirmede simülasyon denemelerinde olduğu gibi verici ve alıcı



**Sekil-7.** Sekil-4(a)'daki sisteme ait simülasyon sonucu, (a) İletim ortamına verilen kaotik işaret, (b) bildiri işaret, (c) alıcıda elde edilen işaret.

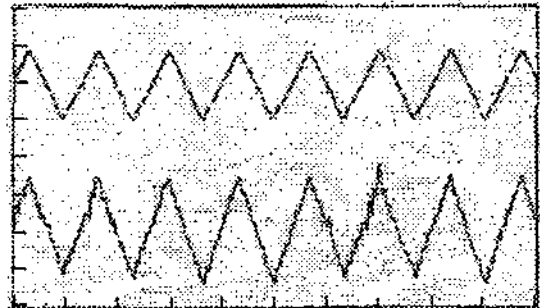
modüller arasında kaotik senkronizasyonun başanlı bir şekilde sağlandığını göstermiştir. DeneySEL olaraK elde edilen senkronizasyon eğrisi Sekil-8'de verilmiştir. DeneySEL analizde de üçgen dalga formundaki bildiri işaretini kullamlımlı ve alıcı modülde başarılı bir şekilde algılamıştır (Sekil-9). Deneylerde kaotik senkronizasyonun sağlanmasının bildiri işaret seviyesinin kaotik işaret seviyesinden oldukça küçük olması gibi bir zorunluluğun olmadığı da tespit edilmiştir.



**Sekil-8.** Sekil 4.(a)'daki kaotik haberleşme sisteminin laboratuvar ortamında gerçekleştirilemesi sırasında kaotik senkronizasyonun sağlanması (kanal-x ( $V_x$ ): 0.5 V/div, 10  $\mu$ s/div, kanal-y ( $V_y$ ): 0.5 V/div, 10  $\mu$ s/div).

## 5. SONUÇLAR

Geliştirilen karışık modlu kaotik devre modeli basit bir domanın arzetmekte ve sadece tek bir nonlineer direnç içermektedir. Bu devre ile tasarlanan kaotik haberleşme sisteminde karışık modlu kaotik devre modelinin zengin otomatik ve otomatik olmayan kaotik parametre değişimleri sisteme daha fazla güvenilirlik katmaktadır ve devredeki anahtarlama mekanizması da ilave bir güvenlik parametresini oluşturmaktadır. Çinkü böyle bir sisteme dışardan istenilmeyen müdahalelerde sistemdeki kaotikliğin çözülmesi ve kaotik senkronizasyonun sağlanması için verici modüldeki tüm parametrelerin bilinmesinin yanı sıra



**Sekil-9.** Sekil 4.(a)'daki haberleşme sisteminin üçgen dalga formunda bir işaret iletimi sırasında deneySEL sonucu. Üsteki işaret bildiri işaretini, alttaki işaret ise alıcıda elde edilen işaretin göstermektedir (Osiloskop ayarları, üstteki işaret için kanal-1: 2 V/div, 0.1 msn/div, alttaki işaret için kanal-2: 0.1 V/div, 0.1 msn/div).

verici modülde kullanılan anahtarlama mekanizması ve anahtarlama işaretlerinin özelliklerinin de bilinmesi zorunludur. Bu özellikleri sistemi daha güvenli kılmaktır ve dışardan müdahaleleri zorlaştırmaktadır.

Karışık modlu kaotik devre modeli analog bildiri işaretlerinin iletimi amaçlı sistem tasarımmında kullanılabildiği gibi dijital yani ikili formdaki işaretlerin iletimi amaçlı sistem tasarımmında da kullanılabilir. Devre yapısındaki anahtarlama işaretleri  $V(Q)$  ya da  $V(\bar{Q})$  dilsizmileyecak bir kaotik anahtarlama sisteminde iletilecek bildiri işaretin olmak kullanılabilir. Böyle bir tasarım ile ilgili sonuçların takip eden aynı bir çalışmada sunulması planlanmaktadır.

## KAYNAKLAR

- [1] L. Kocarev, K.S. Halle, K. Eckert, L.O. Chua, U. Parlitz, Experimental Demonstration of Secure Communications via Chaotic Synchronization, International J. of Bifurcation&Chaos, 2, 709-713, (1992).
- [2] K.S. Halle, C.W. Wu, M. Itoh, L.O. Chua, Spread Spectrum Communication Through Modulation of Chaos, International J. of Bifurcation&Chaos, 3, 469-477, (1993).
- [3] L.O. Chua, M. Itoh, L. Kocarev, K. Eckert, Chaos Synchronization in Chua's Circuit, International J. of Bifurcation&Chaos, 3, 93-108, (1993).
- [4] M. Itoh, H. Morikoshi, L.O. Chua, Communication Systems via Chaotic Modulations, IEICE Trans. Fundamentals, E77-A, 1000-1006, (1994).
- [5] M. Alçı, R. Küçük, Simetrik Bağlantılı Chua Devre Modelinde Kaotik Eğzamanlama, SIU'97, 5. Sinyal İşleme ve Uygulamaları Kuruluşu, 8.850-854, 1997, Kırıkkale.
- [6] M. Hasler, Synchronization of Chaotic Systems and Transmission of Information, International J. of Bifurcation&Chaos, 8, 647-653, (1998).
- [7] M. Itoh, Spread Spectrum Communication via Chaos, International J. of Bifurcation&Chaos, 9, 155-213, (1999).
- [8] A.I. Panas, T. Yang, L.O. Chua, Experimental Results of Impulsive Synchronization Between Two Chua's Circuits, International J. of Bifurcation&Chaos, 8, 639-644, (1998).
- [9] A.S. Dmitriev, A.I. Panas, S.O. Starkov, Experiments on Speech and Music Signals Transmission Using Chaos, International J. of Bifurcation&Chaos, 5, 1249-1254, (1995).
- [10] R. Küçük, M. Alçı, M. Tokmakçı, Mixed-Mode Chaotic Circuit, Electronics Letters, 36, 103-104, (2000).